

## حرکت براونی، پیوند احتمال و آنالیز ریاضی

کسری علیشاھی<sup>۱</sup>

### چکیده

هدف این نوشه‌ته ارایه چشم‌اندازی از بخش‌هایی از دانش امروزین احتمال و آنالیز تصادفی است. نقطه شروع و محور مشترک بیشتر مطالبی که به آن‌ها پرداخته‌ایم حرکت براونی است. نخست با پی‌گیری انگیزه‌های تاریخی، چگونگی شکل‌گیری تعریف دقیق و برخی از ویژگی‌های حرکت براونی و نیز ایده‌های اصلی توسعه انتگرال و حسابان تصادفی را بررسی کرده‌ایم. آن‌گاه پس از مرور مفاهیم پایه‌ای چون مارتینگل‌ها و زمان‌های توقف، روایتی جامع‌تر از حسابان تصادفی ارایه کرده‌ایم. سپس با به‌کار بردن این ابزارها به بررسی خواص عمیق‌تری از حرکت براونی و نیز برخی ارتباط‌ها با مسائلی در آنالیز کلاسیک پرداخته‌ایم. در پایان، مسائله‌ای از فیزیک و تعبیری احتمالاتی از پاسخ آن مورد بحث و بررسی قرار می‌گیرد.

واژه‌های کلیدی: آنالیز تصادفی، حرکت براونی، زمان توقف، مارتینگل.  
رده‌بندی موضوعی (MSC2000): 60G40, 60H05, 60J65



بود، تا پایان قرن نوزدهم هم‌چنان در مرحله نوپایی موسوم به دوره کلاسیک به سر می‌برد. دوره‌ای که وجه مشخصه آن تعبیر احتمال به عنوان نسبت تعداد حالت‌های مطلوب به تعداد کل حالت‌ها است. طبیعی است که این تعبیر حیطه مسائل قابل بررسی در دانش احتمال را بسیار محدود و مثالاً همه مثال‌های نامتناهی را از آن خارج می‌کرد. در آغاز قرن بیستم، همزمان با بازنگری اساسی در بنیادهای آنالیز ریاضی و به‌ویژه مفاهیم طول و مساحت توسط ریاضی‌دانان بزرگی چون

## ۱ حرکت براونی و انتگرال تصادفی

حرکت براونی سنگ بنای نظریه مدرن احتمال، آنالیز تصادفی و معادلات دیفرانسیل تصادفی است. فرآیندی تصادفی که به افتخار رابت براون زیست‌شناس، که برای اولین بار متوجه حرکات نامنظم و به ظاهر اتفاقی ذرات ریز معلق در آب شد، به این نام خوانده می‌شود. مدت‌ها طول کشید تا دلیل فیزیکی این پدیده کشف شود و زمان بیشتری لازم بود تا تعریف ریاضی رضایت‌بخشی از حرکت براونی به زبان دقیق آنالیز ریاضی ارایه شود.

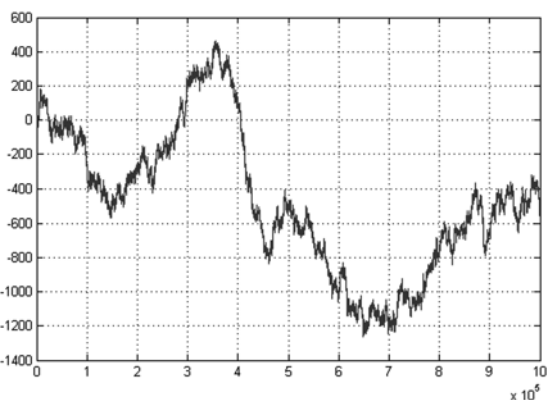
در تاریخ علم قرن بیستم نام‌های بزرگی با پژوهش‌های مربوط به حرکت براونی گره خورده است؛ نام‌هایی چون اینشتین، وینر، کولموگروف، لوی، ایتو، ...

درک موانع موجود بر سر راه تعریف درست حرکت براونی در ابتدای قرن بیستم چندان دشوار نیست. نکته این است که علم احتمال، با وجود همه نتایج و موقفیت‌هایی که به دست آورده

منحصر به فرد است به این معنی همه توزیع‌های احتمال وابسته به آن به طور یکتا تعیین می‌شود. او هم‌چنین متوجه این حقیقت شگفت‌انگیز شد که هر مسیر نمونه‌ای از حرکت براونی به احتمال یک در همه جا مشتق‌ناپذیر است! این ویژگی را می‌توان از حکمی قوی‌تر درباره تغییرات حرکت براونی نتیجه گرفت: اگر تغییرات مرتبه  $p$  ام تابعی مثل  $f$  بر بازه  $[a, b]$  را به شکل زیر تعریف کنیم

$$\limsup_{\substack{a=t_0 < \dots < t_N = b \\ \max(t_j, -t_{j-1}) \rightarrow 0}} \sum |f(t_j) - f(t_{j-1})|^p$$

آن‌گاه ثابت می‌شود که هر مسیر از حرکت براونی به احتمال یک در هر بازه زمانی تغییرات مرتبه دومی برابر با طول آن بازه دارد. نتیجه این که تغییرات مرتبه اول آن بی‌نهایت است. این در حالی است که تغییرات مرتبه اول توابع خوش‌رفتاری که ما به‌طور معمول با آن‌ها سروکار داریم، مثلاً همه توابع مشتق‌پذیر، کران‌دار است. بنابراین حرکت براونی نمی‌تواند مشتق‌پذیر باشد.



یکی دیگر از روش‌های ساختن حرکت براونی، که نخستین بار توسط بشلیه به کار گرفته شد، حدگیری از قدم زدن تصادفی با کوچک کردن طول گام‌ها و هم‌زمان افزایش تعداد آن‌ها در واحد زمان است. اگر این کار با مقیاس‌بندی مناسب انجام شود، آن‌گاه در حد یک فرآیند نابدیهی با مسیر پیوسته به وجود می‌آید که ویژگی‌های احتمالاتی قدم زدن تصادفی یعنی

بورل و لبگ، این ایده شکل گرفت که از دیدگاه مجرد ریاضی، احتمال هم نوعی از اندازه‌گیری است و می‌تواند در قالب نظریه ریاضی تازه به وجود آمده (نظریه اندازه) صورت‌بندی شود. ادامه این مسیر توسط وینر، کولموگروف و بعدها ایتو، دوب و ... سرآغاز دوره جدیدی در توسعه احتمال به عنوان شاخه‌ای در خور توجه از ریاضیات شد. با صورت‌بندی جدید و به کمک قضایای توسعه اندازه، که وجود اندازه‌هایی با ویژگی‌های مطلوب بر فضاهای بسیار بزرگ (مثلاً فضاهای حاصل‌ضربی نامتناهی) را تضمین می‌کنند، احتمال دانان قادر شدند به بررسی مثال‌هایی پردازنند که در آن‌ها نامتناهی عامل تصادف همزمان موجود و تأثیرگذار هستند. مثال‌هایی مانند نامتناهی بار پرتاب سکه و یا تغییرات یک کمیت تصادفی در زمان (فرآیند تصادفی) که طبیعتاً غنای بسیار بیشتری به دانش احتمال بخشیدند.



حرکت براونی، به اختصار، فرآیندی تصادفی با مسیرهای پیوسته است که نموهای مانا و مستقل با توزیع گاوی دارد. به بیان دقیق‌تر، فرآیند تصادفی  $\{B_t\}_{t \leq \infty}$  را حرکت براونی استاندارد می‌گوییم اگر به عنوان تابعی از  $t$  پیوسته باشد،  $B_s - B_t$  و برای هر  $s < t$  متفاوت تصادفی گاوی با  $B_u - B_s$  باشد. میانگین صفر و واریانس  $s - t$  و مستقل از  $t$  باشد. نخستین بار وینر وجود حرکت براونی را ثابت کرد. در واقع او اندازه احتمالی بر فضای توابع پیوسته،  $C[0, \infty]$ ، ساخت به نحوی که تابع پیوسته تصادفی که با این اندازه احتمال انتخاب شود ویژگی‌های مورد نظر برای حرکت براونی را برآورده کند. وینر به علاوه نشان داد که حرکت براونی با ویژگی‌های فوق

دیفرانسیلی آن‌ها در یک جزء کوچک زمان ترکیبی از یک بخش دینامیک تعینی و یک بخش براونی باشد، به وسیله احتمال دانان بزرگی چون لوى و ایتو دنبال شد. فرآیندهایی که به شکل صوری با معادله دیفرانسیل تصادفی به شکل زیر توصیف شوند

$$dX_t = b(X_t) dt + \sigma(X_t) dB_t \quad (1)$$

مشکل این‌جاست که همان‌طور که گفته شد حرکت براونی به‌شدت ناهموار (مشتق‌ناپذیر) است و بنابراین معنا بخشنیدن به معادله دیفرانسیل فوق چندان ساده نیست! یک راه متدالوی برای غلبه بر مشکلات ناهمواری از این دست، نوشتن معادله به شکل انتگرالی است

$$X_t = X_0 + \int_0^t b(X_s) ds + \int_0^t \sigma(X_s) dB_s$$

اما تعبیر این صورت انتگرالی هم با مشکل جدی مواجه است. مشکل ناشی از این است که حرکت براونی تغییرات بی‌کران دارد و بنابراین تضعیفی برای همگرایی انتگرال دوم وجود ندارد.



دست آورد بزرگ ایتو، غلبه بر این مانع و یافتن راهی برای معنا دادن به انتگرال‌های تصادفی به‌شکل  $\int Y_s dB_s$  برای خانواده‌ای غنی از فرآیندهای تصادفی  $Y$  بود. صرف نظر از جزئیات فنی، ایده اصلی این است که اگرچه حرکت براونی تغییرات بی‌کران دارد و بنابراین انتگرال فوق برای همه مسیرهای پیوسته  $Y$  وجود ندارد، اما برای واگرایی مجموعه‌ای

داشتن نموهای مستقل و مانا را به ارث خواهد برد. گاووسی شدن نموهای فرآیند حدی نیز نتیجه‌ای از قضیه حد مرکزی است.

حرکت براونی نمونه شاخصی از فرآیندهای تصادفی است که احتمال دانان آن‌ها را فرآیندهای مارکوف نامیده‌اند. فرآیند مارکوف فرآیندی است که با دانستن مقدار آن در هر لحظه، مقادیر گذشته فرآیند تأثیری بر مقادیر آینده آن ندارند. به بیان دیگر، دانستن مقدار فرآیند تنها در لحظه‌ی حال، همان قدر درباره اتفاقات آینده حاوی اطلاعات است که دانستن کل مسیر فرآیند از گذشته تا حال.

فرآیندهای مارکوف تعمیم طبیعی سیستم‌های دینامیکی به حالت تصادفی هستند. همان‌طور که آینده یک سیستم دینامیکی به‌طور کامل با دانستن وضعیت کنونی آن قابل تعیین است، در یک سیستم تصادفی مارکوف نیز همه دانش احتمالاتی ممکن درباره آینده سیستم از وضعیت حال حاضر آن قابل استخراج است. یکی از دلایل اصلی توسعه آنالیز تصادفی در نیمه اول قرن بیستم تلاش جهت ارایه توصیفی کارآمد از فرآیندهای مارکوف پیوسته بوده است.

همان‌طور که می‌دانیم رده بزرگی از سیستم‌های دینامیکی، یا همان فرآیندهای مارکوف غیرتصادفی، به کمک معادلات دیفرانسیل قابل توصیف هستند. معادله‌ای که در فضای اقلیدسی،  $\mathbb{R}^d$ ، به اختصار به صورت زیر قابل بیان است

$$dX_t = b(X_t) dt$$

حرکت براونی در انتهای دیگر طیف فرآیندهای مارکوف جای دارد؛ فرآیندی تصادفی که تغییرات آن بر خلاف سیستم دینامیکی، مطلقاً فاقد الگوی از پیش تعیین شده است. در حقیقت این تغییرات مستقل از گذشته است! ایده تلفیق این دو مثال و به دست آوردن رده‌ای از فرآیندهای مارکوف که تغییرات

## ۲ امید شرطی، مارتینگل‌ها، زمان‌های توقف

در طول چند دهه پس از ابداع انتگرال تصادفی به‌وسیله ایتو، تلاش‌های زیادی به‌وسیله احتمال دانان برای توسعه ابزارهای آنالیز تصادفی صورت گرفت. حاصل این تلاش‌ها نظریه جامعی است که ایده‌های اولیه ایتو را در جهات مختلف تعمیم داده و به آن عمق و کلیت قابل توجهی بخشیده است. برای آن‌که به اجمال بخشی از این نظریه را مرور کنیم، لازم است برخی مفاهیم پایه‌ای را با دقت بیشتری بررسی کنیم.

همان‌طور که می‌دانیم پس از کولموگروف همه اشیاء تصادفی بر فضای زمینه‌ای به نام فضای احتمال تعریف می‌شوند. فضای احتمال سه‌تایی  $(\Omega, \mathcal{F}, \mathbb{P})$  است که از سه جزء فضای نمونه  $\Omega$ ، مجموعه پیشامدها  $\mathcal{F}$ ، و اندازه احتمال  $\mathbb{P}$  تشکیل شده است. مجموعه پیشامدها یک میدان سیگما می‌باشد. میدان  $\sigma$  از زیرمجموعه‌های فضای نمونه است که اندازه احتمال بر اعضای آن تعریف شده است. یکی از دلایل این که اندازه احتمال را بر همه زیرمجموعه‌های فضای نمونه تعریف نمی‌کنیم مشکلات فنی است که وجود اندازه را بر چنین خانواده بزرگی ناممکن می‌کند. اما  $\sigma$ -میدان‌ها در احتمال نقش دیگری نیز به عهده دارند؛ آن‌ها به نحوی نشان دهنده میزان اطلاعات هستند. در حقیقت این‌که در مورد چه مجموعه‌ای از پیشامدها قادر به قضاوت باشیم وابسته به میزان اطلاعات ما است. این موضوع در بررسی فرآیندهای تصادفی اهمیت ویژه‌ای می‌یابد.

در حالت کلی به هر نگاشت  $\mathcal{F}$  - اندازه‌پذیر از  $\Omega$  به  $\mathbb{R}$  یک متغیر تصادفی می‌گویند، اما در اینجا برای ساده‌تر شدن بحث خود را به فضای متغیرهای با گشتاور دوم متناهی،  $L^2(\Omega, \mathcal{F}, \mathbb{P})$ ، محدود می‌کنیم. این مجموعه با ضرب داخلی

ریمان به‌شکل  $\sum Y_{t_{j-1}}(B_{t_j} - B_{t_{j-1}})$  باید  $Y_t$ ‌ها به نحوی با تغییرات حرکت براونی،  $(B_{t_j} - B_{t_{j-1}})$ ‌ها، هماهنگ شوند و اگر فرآیند  $Y$  سازگار باشد یعنی  $Y_t$  بر حسب حرکت براونی تا قبل از لحظه  $t$  تعیین شود،  $(B_{t_j} - B_{t_{j-1}})$  از  $Y_{t_{j-1}}$  مستقل می‌شود و می‌توان نشان داد که در این صورت احتمال هماهنگی‌های ناخوشایندی که به واگرایی مجموعه‌های ریمان بیان‌جامد صفر است و بنابراین انتگرال با احتمال یک موجود خواهد بود! به لحاظ فنی، مسیر ایتو برای تعریف انتگرال تصادفی از مشاهده‌ای اساسی به نام ایزومنtri ایتو می‌گذرد که در بخش بعد به آن خواهیم پرداخت.

یکی دیگر از نتایج بسیار مهم که ایتو موفق به اثبات آن شد، رابطه‌ای موسوم به فرمول ایتو است که اساس حسابان تصادفی یا حسابان ایتو را تشکیل می‌دهد. از حسابان متدالول می‌دانیم که اگر  $X_t$  و  $f$  توابعی مشتق‌پذیر باشند، در این صورت داریم

$$d f(X_t) = f'(X_t) dX_t$$

فرمول ایتو تعمیمی از این حقیقت برای رده‌ای از فرآیندهای تصادفی شامل جواب‌های معادلات دیفرانسیل تصادفی از نوع (۱) است. بنابراین رابطه در حالت ساده اگر  $X_t$  جواب معادله (۱) و تابع  $f$  به اندازه کافی هموار (دوبار مشتق‌پذیر با مشتق دوم پیوسته) باشد،  $f(X_t)$  با معادله‌ای به شکل زیر قابل بیان است

$$d f(X_t) = f'(X_t) dX_t + \frac{1}{2} f''(X_t) \sigma(X_t)^2 dt \quad (2)$$

جمله اضافی شامل مشتق دوم، نقطه تمایز حسابان تصادفی و غیرتصادفی و ناشی از تغییرات بسیار شدید حرکت براونی و فرآیندهای مشابه آن است.

احتمال  $(\Omega, \mathcal{F}, \mathbb{P})$  مجهر به صافی  $\{\mathcal{F}_t\}$  تعریف شده مارتینگل می‌گوییم اگر نسبت به صافی داده شده سازگار باشد و به علاوه

$$\mathbb{E}(X_t | \mathcal{F}_s) = X_s \quad , s \leq t \quad (3)$$

یعنی همیشه بهترین پیش‌بینی برای مقدار فرآیند در هر زمانی از آینده، مقدار فعلی فرآیند است. توجه کنید که رابطه (۳) را می‌توان به شکل  $\mathbb{E}(X_t - X_s | \mathcal{F}_s) = 0$  نوشت که معنای آن ناهمبستگی نموهای فرایند نسبت به گذشته است. این ویژگی تعمیمی اساسی از خاصیت نموهای مستقل حرکت براونی است و بنابراین حرکت براونی نمونه‌ای از یک مارتینگل است.

بنا به قضیه‌ای از احتمال‌دان بر جسته، دوب، که به نابرابری ماکسیمال معروف است، برای یک مارتینگل با مسیرهای پیوسته مثل  $M$  که بر بازه زمانی  $[0, T]$  تعریف شده، می‌توانیم تغییرات کل مسیر را با مقدار لحظه پایانی کنترل کنیم

$$\mathbb{E}[(\sup_{t \in [0, T]} M_t)^2] \leq 4\mathbb{E}(M_T^2)$$

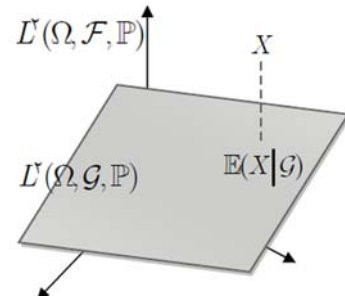
با توجه به این نابرابری، اگر فضای مارتینگل‌های پیوسته بر  $[0, T]$  با گشتاور دوم متناهی،  $(\mathcal{M}_T^c([0, T]), \mathcal{F}_t)$ ، را به نرم آورد که همگرایی در آن بهنحوی همگرایی مسیرها را نیز نتیجه می‌دهد.

مارتینگل‌های پیوسته با گشتاور دوم متناهی ویژگی‌های قابل توجه دیگری هم دارند که از مهم‌ترین آن‌ها وجود تغییرات توأم است. برای دو مارتینگل  $M$  و  $N$  تغییرات توأم،  $[M, N]$ ، به شکل زیر تعریف می‌شود

$$[M, N]_t = \lim \sum [(M_{t_j} - M_{t_{j-1}})(N_{t_j} - N_{t_{j-1}})]$$

که حدگیری روی افزارهای  $t = t_0 < \dots < t_N = t$  که ظرفی و ظریفتر می‌شوند انجام می‌گیرد. ثابت می‌شود که

$\mathbb{E}(XY)$  یک فضای هیلبرت است. اگر  $\mathcal{G}$  زیر  $\sigma$ -میدانی از  $\mathcal{F}$  باشد،  $L^2(\Omega, \mathcal{G}, \mathbb{P})$  زیرفضایی از  $L^2(\Omega, \mathcal{F}, \mathbb{P})$  خواهد بود. تصویر متعامد متغیر تصادفی  $X$  براین زیرفضا،  $\mathbb{E}(X|\mathcal{G})$ ، اميد شرطی  $X$  نسبت به  $\mathcal{G}$  نامیده می‌شود. به یک تعبیر  $\mathbb{E}(X|\mathcal{G})$  بهترین تقریب  $\mathcal{G}$ -اندازه‌پذیر از  $X$  است (امید شرطی با شرط ضعیف‌تر متناهی بودن گشتاور اول نیز قابل تعریف است اما جزئیات فنی تعریف آن پیچیده‌تر است).



فرآیند تصادفی مدلی است برای تغییرات زمانی یک کمیت تصادفی که با خانواده‌ای مانند  $\{X_t\}_{t \leq \infty}$  از متغیرهای  $(\Omega, \mathcal{F}, \mathbb{P})$  تصادفی نشان داده می‌شود که بر فضای احتمال  $(\Omega, \mathcal{F}, \mathbb{P})$  تعریف شده‌اند. در بررسی فرآیندهای تصادفی از خانواده‌ای صعودی از زیر  $\sigma$ -میدان‌های  $\mathcal{F}_t$ ، به منظور نشان دادن میزان اطلاعات، که با زمان در حال افزایش است، استفاده می‌کنیم که به آن صافی می‌گویند. طبیعی است فرض کنیم که دانستن مقدار فرآیند مورد نظر بخشی از اطلاعات موجود باشد. این ویژگی، یعنی این که برای هر  $t$  متغیری  $\mathcal{F}_t$ -اندازه‌پذیر باشد، را سازگاری فرآیند  $\{X_t\}$  نسبت به صافی  $\{\mathcal{F}_t\}$  می‌گویند. اگر به صافی مشخصی تصریح نشده باشد صافی طبیعی یا کوچکترین صافی که فرآیند نسبت به آن سازگار باشد یعنی  $\sigma(\{X_s; 0 \leq s \leq t\})$  را در نظر می‌گیریم.

مارتینگل‌ها رده مهمی از فرآیندهای تصادفی هستند که نقش اساسی در احتمال و به ویژه در نظریه انتگرال‌گیری تصادفی ایفا می‌کنند. فرآیند تصادفی  $\{X_t\}$  را که بر فضای

جزئیات فنی شرایط قضیه نمونه‌گیری اختیاری کمی پیچیده است ولی مثلاً کران داری زمان توقف،  $\tau$ ، با مارتینگل،  $M$ ، برای برقراری حکم قضیه کافی است.

اکنون می‌توانیم روش ایتو برای تعریف انتگرال تصادفی را به نحو دقیق‌تری بررسی کنیم، برای این منظور بازه زمانی  $[0, T]$  و حرکت براونی  $B_t$  که براین بازه شده را در نظر می‌گیریم. هدف تعریف انتگرال‌های به شکل  $\int_0^t X_s dB_s$  برای رده مناسبی از فرآیندهای تصادفی  $X$  است. ایتو فرآیندهای مناسب را آن‌هایی انتخاب کرد که نسبت به صافی حرکت براونی سازگار باشند و به علاوه داشته باشیم

$$[[X]]_T = \mathbb{E} \left[ \int_0^T X_s ds \right] < \infty$$

به سادگی دیده می‌شود که مجموعه این فرآیندها،  $(\mathcal{L}^2([0, T]))$ ، با نرم  $T$  یک فضای هیلبرت می‌سازد.

فرآیند تصادفی  $(X_t) \in \mathcal{L}^2([0, T])$  را فرآیند ساده می‌نامیم اگر سازگار و قطعه قطعه ثابت باشد. یعنی افزایش  $t_N = T < t_{N-1} < \dots < t_1 = 0$  از بازه  $[0, T]$  و متغیرهای تصادفی مربع انتگرال‌پذیر  $\zeta_j \in \mathcal{F}_{t_j}$  باشند که

$$X_t = \sum \zeta_j \mathbf{1}_{[t_j, t_{j+1})}(t)$$

انتگرال تصادفی از فرآیندهای ساده به طور طبیعی به صورت زیر قابل تعریف است

$$\int_0^t X_s dB_s = \sum_{j=0}^{N-1} \zeta_j (B_{t \wedge t_{j+1}} - B_{t \wedge t_j})$$

بررسی این که انتگرال خود به عنوان فرآیندی تصادفی برحسب یک مارتینگل پیوسته می‌شود دشوار نیست. به علاوه با کمی محاسبه می‌توان نشان داد که

$$\mathbb{E} \left[ \left( \int_0^t X_s dB_s \right)^2 \right] = \mathbb{E} \left[ \left( \sum_{j=0}^{N-1} \zeta_j (B_{t \wedge t_{j+1}} - B_{t \wedge t_j}) \right)^2 \right]$$

$[M, N]$  فرآیندی پیوسته با تغییرات کران دار است، و اگر  $N$  و  $M$  مستقل باشند،  $0 = [M, N]$ . به علاوه فرآیند  $[M, M]$  که همان تغییرات مربعی  $M$  است و با  $(M)$  نشان داده می‌شود، پیوسته و صعودی است و تنها زمانی ثابت خواهد بود که  $M$  نیز ثابت باشد. بنابراین مارتینگل‌های پیوسته هم مانند حرکت براونی تغییرات مرتبه دوم نابدیهی و در نتیجه تغییرات مرتبه اول بی‌کران و مسیرهای مشتق‌ناپذیر دارند.



در مطالعه فرآیندهای تصادفی مطالعه برخی زمان‌های تصادفی به طور طبیعی ضرورت می‌یابد. مثلاً اولین زمان ورود حرکت براونی به ناحیه‌ای مشخص یا آخرین زمان خروج از آن، نمونه‌هایی از زمان‌های تصادفی هستند که در ادامه بیشتر به آن‌ها خواهیم پرداخت. رده مهمی از زمان‌های تصادفی به نام زمان‌های توقف با این ویژگی متمایز می‌شوند که تشخیص فراسیدن آن‌ها تا قبل از زمانی مشخص با اطلاعات موجود تا آن زمان میسر است. به بیان دقیق‌تر، زمان تصادفی  $\tau$  را زمان توقف می‌گوییم اگر

$$\{\tau \leq t\} \in \mathcal{F}_t \quad \text{برای هر } t,$$

به این ترتیب می‌توان دید که مثلاً اولین زمان ورود زمان توقف است، اما آخرین زمان خروج چنین نیست.

روشن است که اگر  $M$  مارتینگل باشد برای هر  $t$  خواهیم داشت  $\mathbb{E}(M_t) = \mathbb{E}(M_0)$ . بنا به قضیه‌ای به نام نمونه‌گیری اختیاری، تحت شرایطی این ویژگی به زمان‌های توقف هم قابل توسعه است

$$\mathbb{E}(X_\tau) = \mathbb{E}(X_0)$$

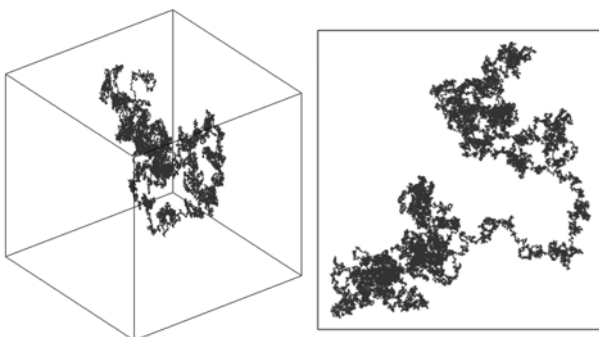
و  $f(t, X_1, \dots, X_n)$  تابعی با مشتقات دوم پیوسته باشد،  
 $X_t = f(t, X_t^{(1)}, \dots, X_t^{(n)})$  نیز یک فرآیند ایتو است که  
 به شکل زیر قابل نمایش می‌باشد

$$dX_t = \frac{\partial f}{\partial t} + \sum \frac{\partial f}{\partial x_i} dX_t^{(i)} + \frac{1}{2} \sum \frac{\partial^2 f}{\partial x_i \partial x_j} d[X_t^{(i)}, X_t^{(j)}]$$

### ۳ حرکت براونی در صفحه و فضای

حرکت براونی در ابعاد بالاتر هم با همان ویژگی‌های حرکت براونی یک بعدی تعریف می‌شود: حرکتی پیوسته با نموهای مستقل و مانا با توزیع گاووسی متقارن. ( $B_t - B_s$  بردار تصادفی گاووسی است که میانگین آن صفر و ماتریس کواریانس آن  $(t-s)$  برابر ماتریس همانی است). می‌توان دید که مولفه‌های حرکت براونی چند بعدی، حرکت‌های براونی مستقل یک بعدی هستند.

حرکت‌های براونی در ابعاد مختلف شباهت‌های زیادی با هم دارند، اما برخی تفاوت‌های شگفت‌انگیز هم بین آن‌ها وجود دارد. یکی از مهم‌ترین تفاوت‌ها به چگال بودن مسیر حرکت براونی در فضای برابر می‌گردد.



بنابراین به قضیه‌ای از پولیا، اگر شما در شبکه  $\mathbb{Z}^d$ -بعدی، به تصادف قدم بزنید یعنی در هر گام به احتمال برابر به یکی از  $2d$  جهت ممکن حرکت کنید، برای  $d=1, 2$  به احتمال یک از همه نقاط شبکه خواهید گذشت اما برای  $d \geq 3$  چنین

$$\begin{aligned} &= \sum_{j=0}^{N-1} \mathbb{E}(\zeta_j^2) \mathbb{E}((B_{t \wedge t_{j+1}} - B_{t \wedge t_j})^2) \\ &= \sum_{j=0}^{N-1} \mathbb{E}(\zeta_j^2) ((t \wedge t_{j+1}) - (t \wedge t_j)) \\ &= \mathbb{E}\left[\int_0^t X_s^2 ds\right] \end{aligned}$$

این رابطه اهمیت زیادی دارد و به ایزومنتری ایتو معروف است. بنا به ایزومنتری ایتو، انتگرال گیری تصادفی به عنوان عملگری خطی، از فرآیندهای ساده، که زیرفضای چگالی از  $(\mathcal{L}([0, T]), [[\cdot]]_T)$  تشکیل می‌دهند، به فضای  $(\mathcal{M}^c([0, T]), \| \cdot \|_T)$  تعریف شده و ایزومنتری است. بنابراین این عملگر به شکل طبیعی و به صورت یکتا به همه فرآیندهای سازگار مربع انتگرال پذیر توسعه می‌یابد.

اکنون پس از موفقیت در تعریف انتگرال‌های تصادفی نسبت به حرکت براونی، می‌توانیم با استفاده از انتگرال غیرتصادفی و انتگرال‌های تصادفی نسبت به حرکت‌های براونی مستقل، رده‌ای از فرآیندهای کلی تر شکل زیر بسازیم

$$X_t = X_0 + \int_0^t Z_s ds + \int_0^t Y_s^{(1)} dB_s^{(1)} + \dots + \int_0^t Y_s^{(k)} dB_s^{(k)}$$

این فرآیندها را، که به افتخار ایتو به نام فرآیندهای ایتو خوانده می‌شوند، گاهی به شکل صوری به فرم دیفرانسیلی زیر نمایش می‌دهند

$$dX_t = Z_t dt + \sum Y_t^{(j)} dB_t^{(j)}$$

می‌توان نشان داد که اگر  $X_t^{(1)}, X_t^{(2)}$  دو فرآیند ایتو به صورت  $dX_t^{(i)} = Z_t^{(i)} dt + \sum Y_t^{(i,j)} dB_t^{(j)}$  باشند، تغییرات توأم آن‌ها از رابطه زیر به دست می‌آید

$$d[X^{(1)}, X^{(2)}]_t = (\sum Y_t^{(1,j)} Y_t^{(2,j)}) dt$$

یکی از صورت‌های مختلف قابل تصور از فرمول ایتو حاکی از آن است که اگر  $X_t^{(1)}, \dots, X_t^{(n)}$  فرآیندهای ایتو

$\tau$  به کار ببریم (توجه کنید که  $f$  در ناحیه مورد توجه ما کران دار و بنابراین استفاده از قضیه مجاز است)، خواهیم داشت

$$\begin{aligned}\mathbb{E}(f(B_\tau)) &= \mathbb{P}(\tau_r < \tau_R)g(r) + \mathbb{P}(\tau_R < \tau_r)g(R) \\ &= f(x) = g(|x|)\end{aligned}$$

از طرفی چون ناحیه بین دو گوی کران دار است حرکت براونی به احتمال یک در زمان متناهی از آن خارج می‌شود و بنابراین داریم

$$\mathbb{P}(\tau_r < \tau_R) + \mathbb{P}(\tau_R < \tau_r) = 1$$

با حل این معادلات به دست می‌آوریم

$$\mathbb{P}(\tau_r < \tau_R) = \frac{g(|x|) - g(R)}{g(r) - g(R)}$$

اکنون با جایگذاری از (۴) و حدگیری خواهیم داشت

$$\mathbb{P}(\tau_r < \infty) = \lim_{R \rightarrow \infty} \mathbb{P}(\tau_r < \tau_R) = \begin{cases} 1 & d = 1, 2 \\ (\frac{r}{|x|})^{d-2} & d \geq 3 \end{cases}$$

بنابراین در بعد یک و دو با شروع از  $x$  به هر همسایگی از نقطه دیگری چون  $y$  با احتمال یک خواهیم رسید اما در ابعاد بالاتر با کوچک شدن همسایگی این احتمال به صفر میل می‌کند. به عنوان نتیجه‌ای ساده از حکم بالا، دیده می‌شود که مسیر هندسی حرکت براونی دو بعدی به احتمال یک در صفحه چگال است. اما می‌توان نشان داد که اندازه دو بعدی این مسیر صفر است. هم‌چنین با روش‌های پیچیده‌تری ثابت می‌شود که بعد هاسدورف مسیر حرکت براونی در همه ابعاد بیش از یک برابر با دو است.

## ۴ توابع همساز و مساله دیریکله

در بخش قبل از توابع همساز به شکل موثری برای بررسی رفتار حرکت براونی کمک گرفتیم. جالب است که این ارتباط در

نیست! به زبان احتمال‌دانان، قدم زدن تصادفی در بعد یک و دو بازگشتی و در ابعاد بالاتر گذرا است.

با ابزارهای آنالیز تصادفی که تا اینجا دیده‌ایم می‌توانیم مشابه قضیه پولیا را برای همزاد پیوسته قدم زدن تصادفی یعنی حرکت براونی ثابت کنیم. نخست صورت چندبعدی فرمول ایتو را برای تابعی از حرکت براونی می‌نویسیم

$$df(B_t) = \frac{1}{2} \Delta f(B_t) dt + \nabla f(B_t) \cdot dB_t$$

یا به تعبیر انتگرالی، اگر حرکت براونی از نقطه  $x$  شروع به حرکت کرده باشد

$$f(B_t) = f(x) + \frac{1}{2} \int_0^t \Delta f(B_s) ds + \int_0^t \nabla f(B_s) \cdot dB_s$$

حال اگر  $f$  تابعی همساز باشد، یعنی  $f = \Delta f$ ، در نمایش بالا برای  $f(B_t)$  تنها یک انتگرال تصادفی باقی خواهد ماند و بنابراین  $f(B_t)$  مارتینگل می‌شود. در ادامه  $f$  را تابعی همساز انتخاب می‌کنیم که بر  $\mathbb{R}^d$  تعریف شده و شعاعی باشد یعنی  $f(x) = g(|x|)$ . به سادگی دیده می‌شود که چنین تابعی وجود دارد و در حد یک تبدیل خطی یکتا است و در ابعاد مختلف به این شکل داده می‌شود

$$g(u) = \begin{cases} u & d = 1 \\ \ln u & d = 2 \\ (\frac{1}{u})^{d-2} & d \geq 3 \end{cases} \quad (4)$$

اکنون می‌خواهیم بررسی کنیم که حرکت براونی با شروع از نقطه  $x$  چقدر احتمال دارد که به نزدیکی نقطه دیگری مثل  $y$  برسد. با یک انتقال می‌توانیم فرض کنیم که  $y$  همان مبدأ مختصات است. حال اگر دو گوی به مرکز مبدأ با شعاع‌های برابر  $R$  و  $r$  در نظر بگیریم که نقطه  $x$  بین این دو واقع شود، و  $\tau_R$  و  $\tau_r$  را به ترتیب اولین زمان‌های برخورد به سطح این دو گوی بگیریم،  $\{\tau_r, \tau_R\} = \min\{\tau_r, \tau_R\}$ ، اولین زمان خروج از ناحیه میان دو گوی، یک زمان توقف خواهد شد. اگر قضیه نمونه‌گیری اختیاری را در مورد مارتینگل  $(B_t)$  و زمان توقف

مونت کارلو می‌گویند: برای یافتن مقدار تقریبی جواب در نقطه‌ای داده شده،  $(x, u)$ ، مقدار  $\mathbb{E}^x(f(B_\tau))$  را تخمین می‌زنیم و برای این کار تعدادی مسیر حرکت براونی با شروع از نقطه  $x$  شبیه‌سازی می‌کنیم و آن‌ها را تا برخورد به مرز  $\Omega$  ادامه می‌دهیم. میانگین تابع  $f$  در نقاط به دست آمده تخمینی از  $\mathbb{E}^x(f(B_\tau))$  است. طبیعی است که هرچه تعداد مسیرهای شبیه‌سازی شده بیشتر شود دقت تخمین نیز افزایش می‌یابد.

روش‌های مونت کارلو مزیتی مهم دارند و آن این است که حجم محاسبات مورد نیاز آن‌ها نسبت به بعد مساله، مانند روش‌های کلاسیک حل عددی معادله دیفرانسیل، به صورتی غیرقابل کنترل زیاد نمی‌شود و لذا این روش‌ها در ابعاد بالا هم‌چنان قابل استفاده هستند. تا امروز برای رده بزرگی از معادلات دیفرانسیل پاره‌ای جواب‌هایی با تعابیر احتمالاتی به دست آمده است و تلاش برای توسعه این روش‌ها به انواع دیگر معادلات دیفرانسیل هم‌چنان ادامه دارد.

## ۵ قضیه لوی و ناوردایی همدیس

یک ویژگی دیگر حرکت براونی که آن را به مفاهیم عمیقی در آنالیز و هندسه مرتبط می‌کند ناوردایی آن تحت اثر نگاشتهای همدیس است. این حقیقت بسیار جالب که افتخار کشف آن متعلق به احتمال‌دان فرانسوی، لوی است حاکی از آن است که تصویر حرکت براونی تحت نگاشتی زاویه نگه‌دار یا همدیس از نظر شکل هندسی مسیر (ولی نه نحوه پرماش آن) هم‌توزیع با حرکت براونی باقی می‌ماند.

ناوردایی همدیس نتیجه قضیه عمیقی، باز هم از لوی، است که حرکت براونی را به کمک برخی ویژگی‌های مارتینگلی آن در میان فرآیندهای پیوسته به صورت یکتا مشخص می‌کند. بنا براین قضیه، تنها فرآیند تصادفی  $(X_t^{(1)}, X_t^{(d)}, \dots)$  که

جهت معکوس نیز بسیار روشن‌گر و انگیزه‌بخش پژوهش‌های عمیق و گسترده‌ای بوده است. این پژوهش‌ها منجر به استفاده از مفاهیم و ابزارهای احتمالاتی در شاخه‌های پرسابقه‌تری از آنالیز ریاضی مانند معادلات دیفرانسیل و نظریه پتانسیل شده و از این طریق نتایج بدیعی به دست آمده است.

یکی از شناخته‌شده‌ترین مثال‌ها از چنین کاربردهای آنالیزی، نمایش احتمالاتی برای جواب مساله دیریکله است که نخستین بار توسط کاکوتانی ارایه شد. مساله عبارت است از پیدا کردن تابعی  $u$  همساز مانند  $f$  درون ناحیه  $\Omega$  از فضای اقلیدسی به‌نحوی که روی مرز  $\partial\Omega$  برابر با تابع داده شده  $f$  باشد

$$\begin{cases} \Delta u = 0 & \text{in } \Omega \\ u = f & \text{on } \partial\Omega \end{cases}$$

همان‌طور که دیده‌ایم اگر  $u$  جوابی برای مساله بالا و  $B_t$  یک حرکت براونی با شروع از نقطه  $x \in \Omega$  باشد، به علت همساز بودن  $u$ ،  $(B_t, u)$  مارتینگل می‌شود. اکنون اگر  $\tau$  را اولین زمان خروج از  $\Omega$  بگیریم با به کار بردن قضیه نمونه‌گیری اختیاری خواهیم داشت

$$u(x) = u(B_\circ) = \mathbb{E}^x(u(B_\tau)) = \mathbb{E}^x(f(B_\tau))$$

بنابراین برای هر  $x \in \Omega$   $u(x)$  با نوعی میانگین‌گیری از  $f$  بر روی مرز  $\partial\Omega$  به دست می‌آید که وزن نقاط مختلف روی مرز  $\partial\Omega$  در این میانگین‌گیری از توزیع اولین برخورد حرکت براونی به مرز تعیین می‌شود. به این ترتیب یکتابی جواب مساله دیریکله، به همراه توصیفی احتمالاتی از جواب در صورت وجود به دست می‌آید. می‌توان نشان داد که تحت شرط نسبتاً عامی بر  $\Omega$  و  $f$ ، تابع  $u$  که با عبارت بالا توصیف می‌شود واقعاً جواب مساله دیریکله است. اثبات این موضوع کمی فنی تراست و در آن از ویژگی قوی مارکوفی برای حرکت براونی استفاده شود.

این نمایش احتمالاتی گذشته از جذابیت نظری آن، به روش عددی جالبی برای یافتن جواب منجر می‌شود که به آن روش

مولفه‌های آن مارتینگل‌هایی با مسیر پیوسته باشد و برای هر  $\{X_t\}_{t \geq 0}$ ، حرکت براونی  $[X^{(i)}, X^{(j)}]_t = \delta_{i,j} t$  است!

قضیه لوی صدق کند، لازم است داشته باشیم

$$\langle M^{(1)} \rangle_t = \dots = \langle M^{(d)} \rangle_t, \quad \forall i \neq j [M^{(i)}, M^{(j)}]_t = 0$$

یا معادل آن به زبان دیفرانسیلی

$$d\langle M^{(1)} \rangle_t = \dots = d\langle M^{(d)} \rangle_t, \quad \forall i \neq j [M^{(i)}, M^{(j)}]_t = 0 \quad (5)$$

اکنون فرض کنید  $B_t$  حرکت براونی  $-d$ -بعدی و  $\varphi : \mathbb{R}^d \rightarrow \mathbb{R}^d$  نگاشتی با مشتقات مرتبه دوم پیوسته باشد که  $\varphi(x) = (\varphi_1(x), \dots, \varphi_d(x))$  تصویر می‌کند. با به کار بردن فرمول ایتو برای  $d\varphi_i(B_t)$  خواهیم داشت

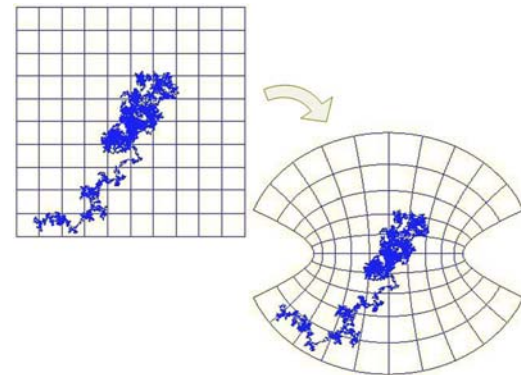
$$d\varphi_i(B_t) = \sum_k \frac{\partial \varphi_i}{\partial x_k}(B_t) dB_t^{(k)} + [\frac{1}{2} \sum_k \frac{\partial^2 \varphi_i}{\partial x_k^2}(B_t)] dt$$

بنابراین به دست می‌آوریم

$$d[\varphi_i(B), \varphi_j(B)]_t = \sum_k \left( \frac{\partial \varphi_i}{\partial x_k}(B) \frac{\partial \varphi_j}{\partial x_k}(B) \right) dt \quad (6)$$

اکنون اگر  $\varphi$  نگاشتی هم دیس باشد، ماتریس مشتق آن،  $[\partial_{x_k} \varphi_i]_{i,k}$ ، متعامد خواهد بود و بنابراین شرط (5) و (6) نتیجه می‌شود. پس بنا به آن‌چه نشان دادیم  $(B_t)$  با تغییر پرمایشی از حرکت براونی به دست می‌آید. اما تغییر پرمایش شکل هندسی مسیر را تغییر نمی‌دهد و این همان ویژگی ناوردایی هم دیس است!

همان‌طور که می‌دانیم خانواده نگاشت‌های هم دیس در فضای دو بعدی بسیار غنی است. در واقع این نگاشت‌ها همان توابع تحلیلی بر صفحه مختلط هستند که مطالعه آن‌ها شاخه مستقلی از ریاضیات است. اما در ابعاد بالاتر نگاشت‌های هم دیس بسیار محدودتر هستند. به نظر شما آیا این حقیقت ارتباطی با رفتار متفاوت حرکت براونی در بعد دو و ابعاد بالاتر دارد؟



در حالت یک بعدی،  $d = 1$ ، قضیه لوی ادعا می‌کند که مارتینگل پیوسته‌ای که تغییرات مرتبه دوم آن تا لحظه  $t$  برابر باشد حرکت براونی است. اکنون اگر  $M_t$  مارتینگلی پیوسته با تغییرات مرتبه دوم متناهی باشد،  $\langle M \rangle_t$  فرآیندی پیوسته خواهد شد و بنابراین می‌توانیم خانواده سعودی  $\{\tau_t\}_{t \geq 0}$  از زمان‌های توقف را به کمک رابطه  $\tau_t = \langle M \rangle_t$  تعریف کنیم. اکنون اگر قرار دهیم  $X_t = M_{\tau_t}$ ، به کمک صورت‌های پیشرفته‌تری از قضیه نمونه‌گیری اختیاری می‌توان نشان داد که فرآیند پیوسته  $X$  نیز مارتینگل است و چون با توجه به نحوه تعریف آن می‌دانیم که  $\tau_t = t$ ، بنابراین  $X_t$  حرکت براونی است. نتیجه این که همه مارتینگل‌های پیوسته با تغییر پرمایشی (تصادفی) از حرکت براونی به دست می‌آیند.

در ابعاد بیش از یک،  $d \geq 2$ ، ماجرا کمی پیچیده‌تر است؛ این بار اگر بخواهیم همان کار را برای مارتینگل پیوسته  $M_t = (M_t^{(1)}, \dots, M_t^{(d)})$  انجام دهیم، یعنی زمان‌های توقف

پتانسیل حاصل از این نحوه توزیع بار برابر است با

$$U = \int_A \int_A \frac{1}{|x-y|} Q_A(dx) Q_A(dy)$$

به دلایل فیزیکی می‌دانیم که پاسخ مساله آن توزیعی است که انرژی پتانسیل را مینیمم کند. بنابراین اگر فضای اندازه‌ها علامت‌دار با محمل  $A$  را  $\mathcal{M}(A)$  بنامیم، و با رابطه زیر

$$\langle \mu, \nu \rangle = \int_A \int_A \frac{1}{|x-y|} \mu(dx) \nu(dy)$$

آن را مجهرز به یک فرم دوخطی مثبت کنیم، (اثبات مثبت بودن  $\langle \cdot, \cdot \rangle$ ، یعنی این که برای هر  $\nu \in \mathcal{M}(A)$  که  $\nu \neq 0$ ، داریم  $\langle \nu, \nu \rangle > 0$  چندان هم ساده نیست!) برای یافتن پاسخ مساله توزیع بار باید  $Q_A(A) = 1$  طوری پیدا کنیم که  $\langle Q_A, Q_A \rangle$  مینیمم شود.

اکنون فرض کنید  $\mu_{x,A}$  اندازه احتمال ناشی از اولین نقطه برخورد حرکت براونی با شروع از نقطه  $x$  به  $A$  باشد. به عبارت دیگر اگر  $\tau_A$  اولین زمان برخورد به  $A$  باشد (در اینجا به مساله وجود حد نخواهیم پرداخت)، نشان خواهیم داد که

$$(7) \quad \text{برای هر } (\mu_A, \rho) = 0, \rho \in \mathcal{M}(A) \text{ که } \rho \in \mathcal{M}(A) = 0$$

در این صورت برای هر  $\mu_A \neq \nu \in \mathcal{M}(A)$  که  $\nu(A) = 1$  خواهیم داشت

$$\begin{aligned} \langle \nu, \nu \rangle &= \langle \mu_A, \mu_A \rangle + \langle \nu - \mu_A, \nu - \mu_A \rangle + 2\langle \mu_A, \nu - \mu_A \rangle \\ &> \langle \mu_A, \mu_A \rangle + 0 + 0 = \langle \mu_A, \mu_A \rangle \end{aligned}$$

و بنابراین  $\mu_A$  باید همان  $Q_A$  باشد. برای اثبات (7)، برای نقطه  $y \in A$  تابع  $f_y$  را به شکل  $f_y(x) = \frac{1}{|x-y|}$  تعریف می‌کنیم. دیدیم که این تابع همساز است و بنابراین اگر  $B_t$  حرکت براونی سه بعدی باشد ( $f_y(B_t)$  مارتینگل است. با به کار

## ۶ توزیع بار الکتریکی

اگر مقدار یک واحد بار الکتریکی بر جسم رسانایی مانند  $A$  قرار دهیم، این بار چگونه بر  $A$  توزیع می‌شود؟ شاید درباره جواب مساله این قدر شنیده باشید که بار بر سطح جسم قرار می‌گیرد و نیز این که چگالی بار در نزدیکی نقاط تیز سطح بیشتر است. در این بخش تلاش می‌کنیم به کمک حرکت براونی توصیفی از جواب ارایه کنیم



یک حرکت براونی را با شروع از نقطه‌ای مانند  $x$  خارج از  $A$  در نظر بگیرید. می‌دانیم که در بعد سه با احتمال مثبت این متحرک براونی هیچ‌گاه به  $A$  برخواهد خورد. اما می‌توان پرسید که مشروط به رخدادن چنین برخوردی، اولین نقطه برخورد کجا است؟ روشن است که پاسخ این سوال یک اندازه احتمال است که به دلیل پیوستگی حرکت براونی محمل آن سطح خارجی  $A$  است. اکنون اگر نقطه  $x$  را از  $A$  دور و دورتر کنیم اندازه‌های احتمال نظیر به اندازه احتمالی میل می‌کنند که جواب مساله توزیع بار است! به بیان دیگر، توزیع بار همان توزیع آماری محل برخورد حرکت‌های براونی با شروع از نقطه بی‌نهایت به سطح  $A$  است.

می‌توانیم نحوه قرار گرفتن بار الکتریکی بر  $A$  را با اندازه علامت‌داری چون  $Q_A$  توصیف کنیم که اندازه کل آن یک و محمل آن  $A$  است و برای هر  $B \subset A$ ،  $Q_A(B) = \frac{\text{مقدار بار داخل } B}{\text{مقدار بار داخل } A}$  را نشان می‌دهد. در این صورت بنا به قانون کولن، انرژی

اما واضح است که مقدار حد در عبارت سمت راست به  $y$  بستگی ندارد پس سمت چپ نباید چنین باشد. بنابراین عدد

$$\text{ثابتی چون } c(A) \text{ وجود دارد به طوری که} \\ \forall y \in A, \quad \int_A \frac{1}{|z-y|} \mu_A(dz) = c(A)$$

اکنون اگر  $\rho \in \mathcal{M}(A)$  باشد که  $\circ$ ، خواهیم داشت

$$\langle \mu_A, \rho \rangle = \int_A \left( \int_A \frac{1}{|x-y|} \mu_A(dx) \right) \rho(dy) x \\ = \int_A c(A) \rho(dy) = c(A) \rho(A) = \circ$$

و این اثبات را کامل می‌کند.

بردن قضیه نمونه‌گیری اختیاری برای این مارتینگل و زمان  $\tau_A$  داریم

$$\begin{aligned} \int_A \frac{1}{|z-y|} \mu_{x,A}(dz) &= \int_A f_y(z) \mu_{x,A}(dz) \\ &= \frac{1}{\mathbb{P}^x(\tau_A < \infty)} \int_A f_y(z) \mathbb{P}^x(B_{\tau_A} \in dz) \\ &= \frac{1}{\mathbb{P}^x(\tau_A < \infty)} \mathbb{E}^x(f_y(B_{\tau_A})) \\ &= \frac{1}{\mathbb{P}^x(\tau_A < \infty)} \mathbb{E}^x(f_y(B_\circ)) \\ &= \frac{1}{\mathbb{P}^x(\tau_A < \infty) |x-y|} \end{aligned}$$

و پس از حدگیری

$$\int_A \frac{1}{|z-y|} \mu_A(dz) = \lim_{x \rightarrow \infty} \frac{1}{\mathbb{P}^x(\tau_A < \infty) |x-y|}$$

## مراجع

- [۱] جهانی‌پور ر., نیوتن، لاینیتس و سپس کیوشی ایتو، فرهنگ و اندیشه ریاضی، شماره ۳۶ (۱۳۸۵) ۶۱-۶۶.
- [۲] ژاژ، و. و پروتر ف..، تاریخچه انتگرال تصادفی و ریاضیات مالی از ۱۸۸۰ تا ۱۹۷۰، ترجمه روح الله جهانی‌پور، فرهنگ و اندیشه ریاضی، شماره ۳۶ (۱۳۸۵) ۱۷-۳۸.
- [۳] ظهوری زنگنه ب. و جهانی‌پور ر., نوربرت وینر ریاضی‌دانی برای تمام فصول، فرهنگ و اندیشه ریاضی، شماره ۳۳ (۱۳۸۳) ۷۷-۸۶.
- [4] Chung, K.L., Green Brown and Probability; World Scientific (1995).
- [5] Karatzas I. and Shreve, S.E., Brownian Motion and Stochastic Calculus; Sec. Ed., Springer (2000).
- [6] Oksendal, B., Stochastic Differential Equations; Springer (2003).
- [7] Protter, P., Stochastic Integration and Differential Equations; Springer, (2004).